

Efeitos nucleares no processo Drell–Yan: formalismos de dipolos de cor e de momentum transversal intrínseco

Emmanuel Gräve de Oliveira

emmanuel.deoliveira@ufrgs.br

Orientação: Profa. Dra. Maria Beatriz Gay Ducati
Grupo de Fenomenologia de Partículas de Altas Energias (GFPAE),
<http://www.if.ufrgs.br/gfpae>
Instituto de Física, Universidade Federal do Rio Grande do Sul,
Porto Alegre, RS, Brasil
Bolsista do CNPq

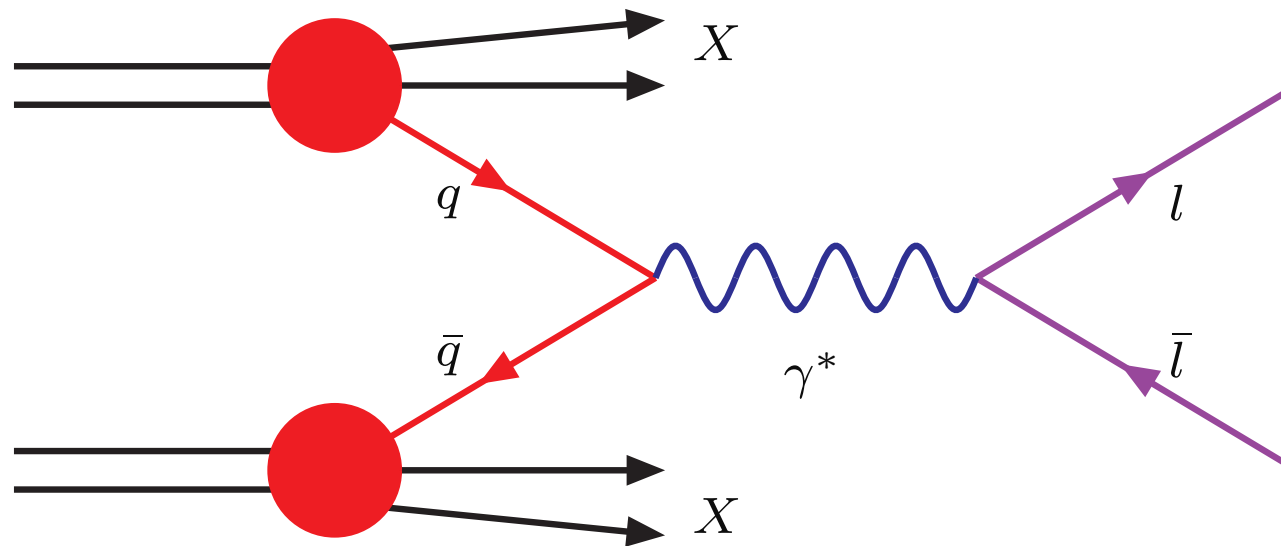
Sumário

- Introdução.
- Processo Drell-Yan.
 - Seção de choque em ordem dominante.
 - Seção de choque em ordem seguinte à dominante.
 - Momentum transversal intrínseco.
 - Funções de distribuição de pártons.
- Formalismo de dipolos de cor.
 - Considerações gerais sobre o formalismo.
 - Seção de choque no formalismo de dipolos de cor.
 - Seção de choque de dipolo.
- Resultados e comparação.
 - Resultados para energias de RHIC.
 - Resultados para energias de LHC.
 - Rapidezes negativas e positivas.
- Conclusões e perspectivas.

Introdução

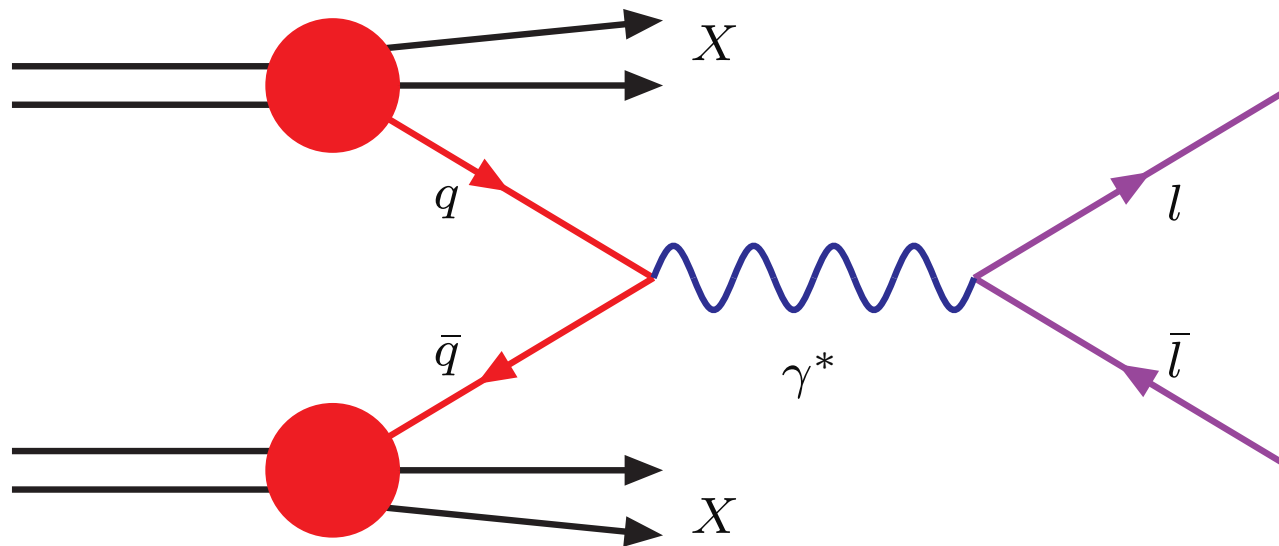
- Classificação das partículas
 - os léptons – não interagem com a força forte e são desprovidos de subestrutura (e.g. elétron, neutrino, ...) e
 - os hádrons – interagem com a força forte e possuem subestrutura (e.g. nêutron, próton, ...)
- As subpartículas que formam os hádrons são chamadas de pártons.
- Pártons podem ser quarks e glúons.
- Como os pártons formam os hádrons?
- Os pártons carregam carga de cor, a carga da força forte.
- Os hádrons não têm cor, de tal maneira que os pártons estão confinados ao interior dos hádrons.
- Sendo assim, a única maneira de estudar (“colidir”) os pártons é estudando (“colidindo”) hádrons.

Processo Drell-Yan



- O **processo Drell-Yan** é a produção de diléptons (pares de léptons e antiléptons) a partir da combinação de **dois pártons** em uma colisão entre dois hádrons.
- Resíduos X , formados a partir dos outros pártons.
- O lépton pode ser um **elétron** (0,51 MeV), **múon** (105 MeV) ou **tau** (1777 MeV) e não interage fortemente, ou seja, é **afetado minimamente pelo resíduo X** .

Processo Drell-Yan



- Para massa do dilépton M muito menor do que a massa do bóson Z (91 GeV), **apenas o fóton** deve ser considerado como o bóson virtual.
- O processo Drell-Yan será analisado agora no **referencial de momentum infinito**, que no caso de uma colisão próton-próton a altas energias é o **referencial de centro de momentum**.
- Em ordem dominante, é a aniquilação de um par de **quark e antiquark** em um bóson virtual que cria o dilépton e apenas vértices (interação) da eletrodinâmica quântica aparecem.

Cinemática do processo Drell-Yan

- Unidades naturais ($c = 1, \hbar = 1$).
- Momenta dos hádrons: P_A e P_B . Momenta dos pártons: p_A e p_B . Momentum do fóton virtual: q ($q^2 = M^2$)
- Em altas energias, a **massa é desprezível**; $P_{A,B}^2 = 0$ e $p_{A,B}^2 = 0$.
- **Referencial de centro de momentum**: $P_A = \frac{1}{2}\sqrt{s}[1, 0, 0, 1]$ e $P_B = \frac{1}{2}\sqrt{s}[1, 0, 0, -1]$.
- Hipótese: os **pártons são colineares aos hádrons** (ausência de momentum transversal intrínseco): $p_{A,B} = x_{A,B}P_{A,B}$.
- Energia de centro de momentum do sistema **hádron A** e **hádron B** ao quadrado

$$s = (P_A + P_B)^2 = 2P_A \cdot P_B \quad (1)$$

- Energia de centro de momentum do sistema **párton A** e **párton B** ao quadrado

$$\hat{s} = (p_A + p_B)^2 = x_A x_B s \quad (2)$$

Cinemática do processo Drell-Yan

- Invariantes x_1 e x_2 :

$$x_1 = \frac{2P_B \cdot q}{s} \quad x_2 = \frac{2P_A \cdot q}{s}. \quad (3)$$

- Rapidez (longitudinal) do fóton:

$$y \equiv \frac{1}{2} \ln \left(\frac{q_0 + q_3}{q_0 - q_3} \right) = \frac{1}{2} \ln(x_1/x_2). \quad (4)$$

- Usando o produto $x_1 x_2 = (M^2 + p_T^2)/s$:

$$x_1 = \sqrt{\frac{M^2 + p_T^2}{s}} e^y \quad x_2 = \sqrt{\frac{M^2 + p_T^2}{s}} e^{-y}. \quad (5)$$

- p_T é o momentum transversal do dilépton (também do fóton virtual).
- Por conservação de momentum, se não há geração de mais partículas além do fóton virtual, $\hat{s} = M^2$ e $p_T = 0$.
- Nesta situação, $x_1 = x_A$ e $x_2 = x_B$.



Subprocesso $q + \bar{q} \rightarrow \gamma^* \rightarrow l + \bar{l}$

- A seção de choque do subprocesso $q + \bar{q} \rightarrow \gamma^* \rightarrow l + \bar{l}$ é obtida em **ordem dominante (OD)** a partir da aplicação da **eletrodinâmica quântica**, por meio das **regras de Feynman**.
- Referencial de centro de momentum dos quarks.
- Média sobre os spins iniciais (s' e s).
- Integração sobre todos os estados finais (soma sobre os spins e integração nas variáveis angulares).
- A **seção de choque do subprocesso** é:

$$\hat{\sigma} = \frac{4\pi e_q^2 \alpha^2}{3M^2}. \quad (6)$$

- α é o parâmetro de acoplamento da eletrodinâmica quântica.
- e_q é a carga eletromagnética do quark.
- A seção de choque deverá ser multiplicada por um **fator de 1/3**, devido às três cores dos quarks.

Modelo de Pártons

- A distribuição de pártons em um hádron → cromodinâmica quântica não perturbativa.
- A alternativa é usar uma parametrização obtida por meio de experimentos.
- No caso do processo Drell-Yan, são usadas funções de distribuição em momentum de pártons $f_q(x_A)$.
- $f_q(x_A)dx_A$ é a probabilidade de encontrar o párton q com fração de momentum entre x_A e $x_A + dx_A$ do momentum do hádron A.
- A seção de choque para o processo Drell-Yan é (em ordem dominante):

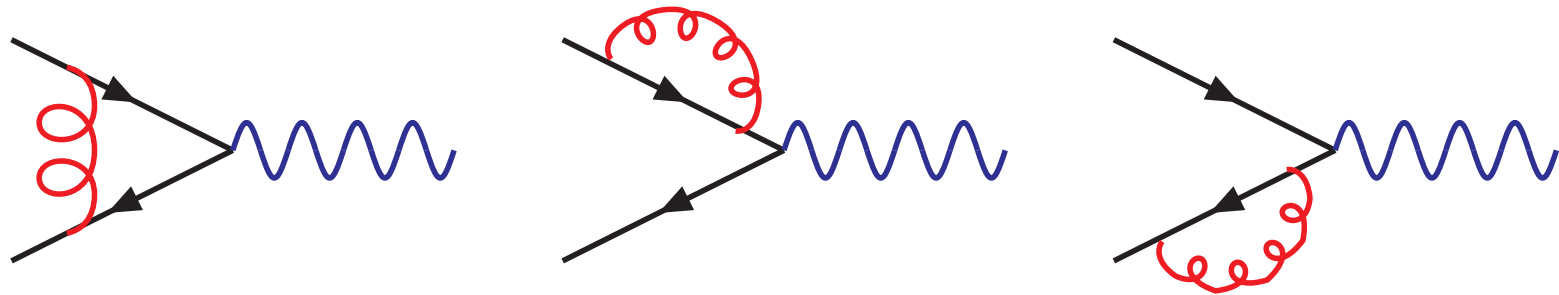
$$d\sigma = \sum_q e_q^2 \frac{4\pi\alpha^2}{9M^2} [f_q(x_A)f_{\bar{q}}(x_B) + f_{\bar{q}}(x_A)f_q(x_B)] dx_A dx_B \quad (7)$$

$$M^4 \frac{d\sigma}{dM^2} = \tau \int_{\tau}^1 \frac{dx_A}{2x_A} \frac{4\pi\alpha^2}{9} \sum_q e_q [f_q(x_A)f_{\bar{q}}(\tau/x_A) + f_{\bar{q}}(x_A)f_q(\tau/x_A)]. \quad (8)$$

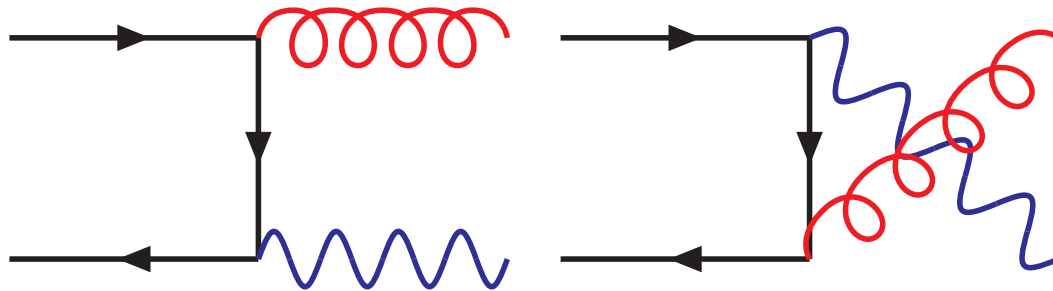
- A seção de choque acima não depende da escala M ($\tau \equiv M^2/s$), condizente com o escalonamento de Bjorken.
- A seção de choque derivada não possui dependência em momentum transversal. Seguir em ordem seguinte à dominante (OSD).

Diagramas em OSD

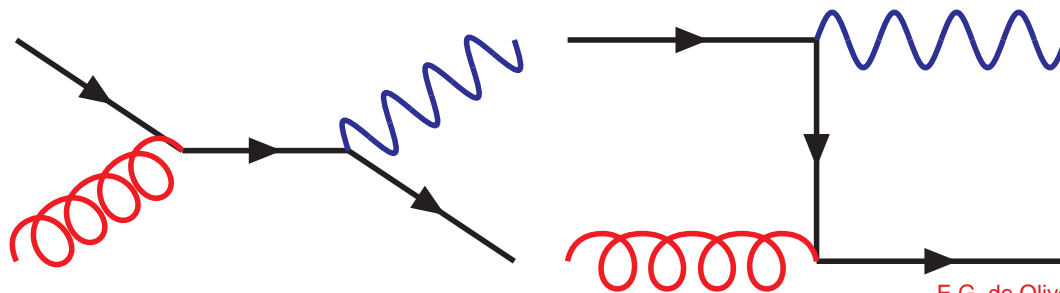
● Diagramas de correções virtuais:



● Diagramas de aniquilação:



● Diagramas de Compton:



Seções de choque dos subprocessos

- Apenas os diagramas de aniquilação e de Compton **geram momentum transversal**.
- A **seção de choque para cada subprocesso** é dada por:

$$\hat{\sigma}_{\text{aniq}}(\hat{s}, \hat{t}) = \frac{d\hat{\sigma}_{\text{aniq}}}{dM^2 d\hat{t}} = \frac{8}{27} \frac{\alpha^2 \alpha_s e_q^2}{M^2 \hat{s}^2} \frac{2M^2 \hat{s} + \hat{u}^2 + \hat{t}^2}{\hat{t} \hat{u}} \quad (9)$$

$$\hat{\sigma}_{\text{Compt,A}}(\hat{s}, \hat{t}) = \frac{d\hat{\sigma}_{\text{Compt,A}}}{dM^2 d\hat{t}} = \frac{1}{9} \frac{\alpha^2 \alpha_s e_q^2}{M^2 \hat{s}^2} \frac{2M^2 \hat{u} + \hat{s}^2 + \hat{t}^2}{-\hat{s} \hat{t}} \quad (10)$$

$$\hat{\sigma}_{\text{Compt,B}}(\hat{s}, \hat{t}) = \frac{d\hat{\sigma}_{\text{Compt,B}}}{dM^2 d\hat{t}} = \frac{1}{9} \frac{\alpha^2 \alpha_s e_q^2}{M^2 \hat{s}^2} \frac{2M^2 \hat{t} + \hat{s}^2 + \hat{u}^2}{-\hat{s} \hat{u}} \quad (11)$$

- Há seções de choque **distintas** para os subprocessos de Compton dependendo **de qual hádron é proveniente cada párton**.
- As seções de choque de Compton estão relacionadas pela troca de \hat{t} por \hat{u} .
- Diagramas de ordem $\alpha^2 \alpha_s$.

Seção de choque $p_T \neq 0$

- O subprocesso precisa ser incorporado no processo, com o uso das **funções de distribuição de pártons**:

$$\begin{aligned} \sigma_P(s, M^2, p_T^2) &= \frac{d\sigma_P}{dM^2 dy dp_T^2} \\ &= \frac{1}{\pi} \frac{\alpha^2 \alpha_s}{M^2 \hat{s}^2} \int_{x_{A\min}}^1 dx_A \frac{x_B x_A}{x_A - x_1} \left\{ P_{q\bar{q}}(x_A, x_B, M^2) \frac{8}{27} \frac{2M^2 \hat{s} + \hat{u}^2 + \hat{t}^2}{\hat{t}\hat{u}} \right. \\ &\quad \left. + P_{qg}(x_A, x_B, M^2) \frac{1}{9} \frac{2M^2 \hat{u} + \hat{s}^2 + \hat{t}^2}{-\hat{s}\hat{t}} + P_{gq}(x_A, x_B, M^2) \frac{1}{9} \frac{2M^2 \hat{t} + \hat{s}^2 + \hat{u}^2}{-\hat{s}\hat{u}} \right\}. \end{aligned}$$

- Com
$$x_B = \frac{x_A x_2 - \tau}{x_a - x_1} \quad x_{A\min} = \frac{x_1 - \tau}{1 - x_2} \quad (12)$$

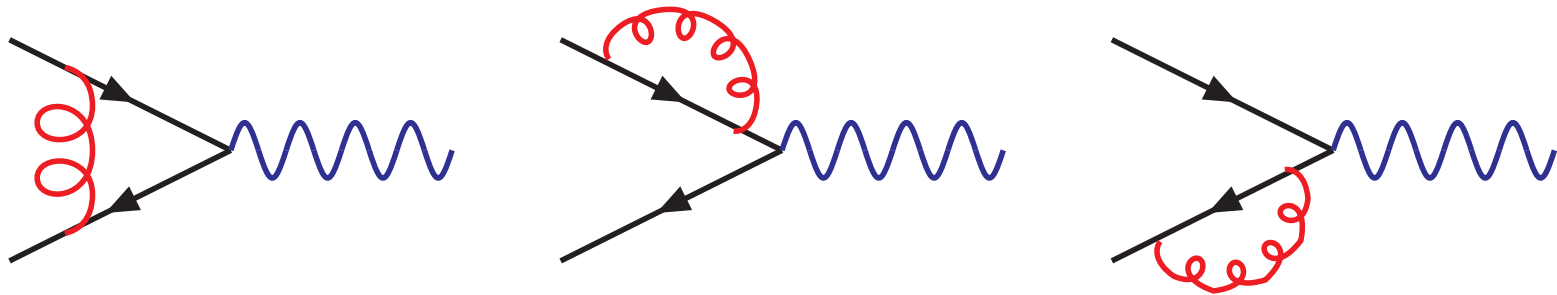
$$P_{q\bar{q}}(x_A, x_B, M^2) = \sum_q e_q^2 (f_q(x_A) f_{\bar{q}}(x_B) + f_{\bar{q}}(x_A) f_q(x_B)) \quad (13)$$

$$P_{gq}(x_A, x_B, M^2) = \sum_q e_q^2 f_g(x_A) (f_q(x_B) + f_{\bar{q}}(x_B)). \quad (14)$$

- Dependência na forma de $p_T^{(-2)}$ surge para $p_T \approx 0$.

Seção de choque diferencial dupla

- Será calculada a **seção de choque diferencial dupla**, **integrada em p_T** , dependente de rapidez y e massa do dilépton M .
- Agora também são importantes os diagramas de **correções virtuais**:



- A **interferência** destes diagramas com o de OD é que produz um termo de ordem $\alpha^2 \alpha_s$.

Divergências

- Três tipos de **divergências** são encontradas no cálculo dos diagramas:
 - **infravermelhas**,
 - **ultravioletas** e
 - **colineares**.
- A solução para as divergências contém duas etapas: a **regularização** e a posterior **renormalização**.
- Há a introdução de uma **escala** no processo.
- Após a regularização e a soma de todos os diagramas, apenas as divergências colineares persistem.
- Estas divergências estão relacionadas com o comportamento **não perturbativo** da teoria.
- As divergências colineares são então absorvidas nas **funções de distribuição de pártons**, que passarão a depender da escala.
- No processo Drell-Yan, uma escolha natural para a **escala** é a **massa do dilépton M** .

Seção de choque diferencial dupla

- Feita a renormalização e a regularização, a seção de choque diferencial dupla para o processo Drell-Yan em ordem seguinte à dominante é dada por:

$$\begin{aligned} \frac{d\sigma}{dM^2 dy} &= \frac{\hat{\sigma}_0}{s} \int_0^1 dx_A dx_B dz \delta(x_A x_B z - \tau) \delta\left(y - \frac{1}{2} \ln \frac{x_A}{x_B}\right) \\ &\times \left\{ P_{q\bar{q}}(x_A, x_B, M^2) \left[\delta(1-z) + \frac{\alpha_s(M^2)}{2\pi} D_q(z) \right] \right. \\ &+ \left. [P_{qg}(x_A, x_B, M^2) + P_{gq}(x_A, x_B, M^2)] \left[\frac{\alpha_s(M^2)}{2\pi} D_g(z) \right] \right\}. \end{aligned}$$

- No esquema de **renormalização de subtração mínima**, as funções $D_q(z)$ e $D_g(z)$ são dadas por:

$$\begin{aligned} D_q(z) &= C_F \left[\delta(1-z) \left(\frac{2\pi^2}{3} - 8 \right) - 2 \frac{1+z^2}{1-z} \ln z + 4(1+z^2) \left(\frac{\ln(1-z)}{1-z} \right)_+ \right] \\ D_g(z) &= T_R \left[(z^2 + (1-z)^2) \ln \frac{(1-z)^2}{z} + \frac{1}{2} + 3z - \frac{7}{2} z^2 \right]. \end{aligned}$$

Momentum transversal intrínseco

- Não estão incluídos de maneira consistente no modelo apresentado até agora os **momenta transversais dos diléptons** ($p_T^{\vec{}}$, bidimensional), que experimentalmente são observados.
- Considerar que os pártons dentro dos hádrons possuem um **momentum transversal intrínseco**.
- Seguindo a hipótese de que a dependência no momentum transversal é **fatorizável**, as funções de distribuição de pártons são alteradas seguindo a regra:

$$f(x)dx \rightarrow f(x)h(k_T^{\vec{}})dx d^2 k_T \quad (15)$$

com $\int h(k_T^{\vec{}})d^2 k_T = 1$.

- A distribuição mais usada neste tipo de parametrização é a **gaussiana**:

$$h(k_T^{\vec{}}) = \frac{1}{2\pi b^2} \exp\left(-\frac{k_T^2}{2b^2}\right). \quad (16)$$

Momentum transversal intrínseco

- O **parâmetro fenomenológico** b deve ser ajustado para melhor descrever os resultados experimentais existentes.
- Combinar o momentum transversal intrínseco com as duas partes da seção de choque: a que **gera momentum transversal** $\sigma_P(s, M^2, p_T^2)$ e a **colinear** $\sigma_C(s, M^2)$.

$$\begin{aligned}\sigma_S(s, M^2, y, p_T) &= \int d^2 \vec{q}_1 \int d^2 \vec{q}_2 \delta(p_T - \vec{q}_1 - \vec{q}_2) h(\vec{q}_1) h(\vec{q}_2) \sigma_C(s, M^2) \\ &+ \int d^2 \vec{q}_1 \int d^2 \vec{q}_2 \int d^2 \vec{q}_T \delta(p_T - \vec{q}_1 - \vec{q}_2 - \vec{q}_T) h(\vec{q}_1) h(\vec{q}_2) \sigma_P \\ &= h'(p_T^2) \sigma_C(s, M^2) + \int d^2 \vec{q}_T h'((p_T - \vec{q}_T)^2) \sigma_P(s, M^2, q_T^2),\end{aligned}$$

com $h'(p_T^2) = \frac{1}{4\pi b^2} \exp\left(\frac{p_T^2}{4b^2}\right)$.

- Os dois termos acima divergem, mas se $\sigma_P(s, M^2, p_T^2) h'(p_T^2)$ é somado ao primeiro termo e subtraído ao segundo, **ambos convergem**:

$$\sigma_S(s, M^2, y, p_T) = h'(p_T^2) \frac{d\sigma}{dM^2 dy} + \int d^2 q_T \sigma_P(s, M^2, q_T^2) [h'((p_T - \vec{q}_T)^2) - h'(p_T^2)], \quad (17)$$

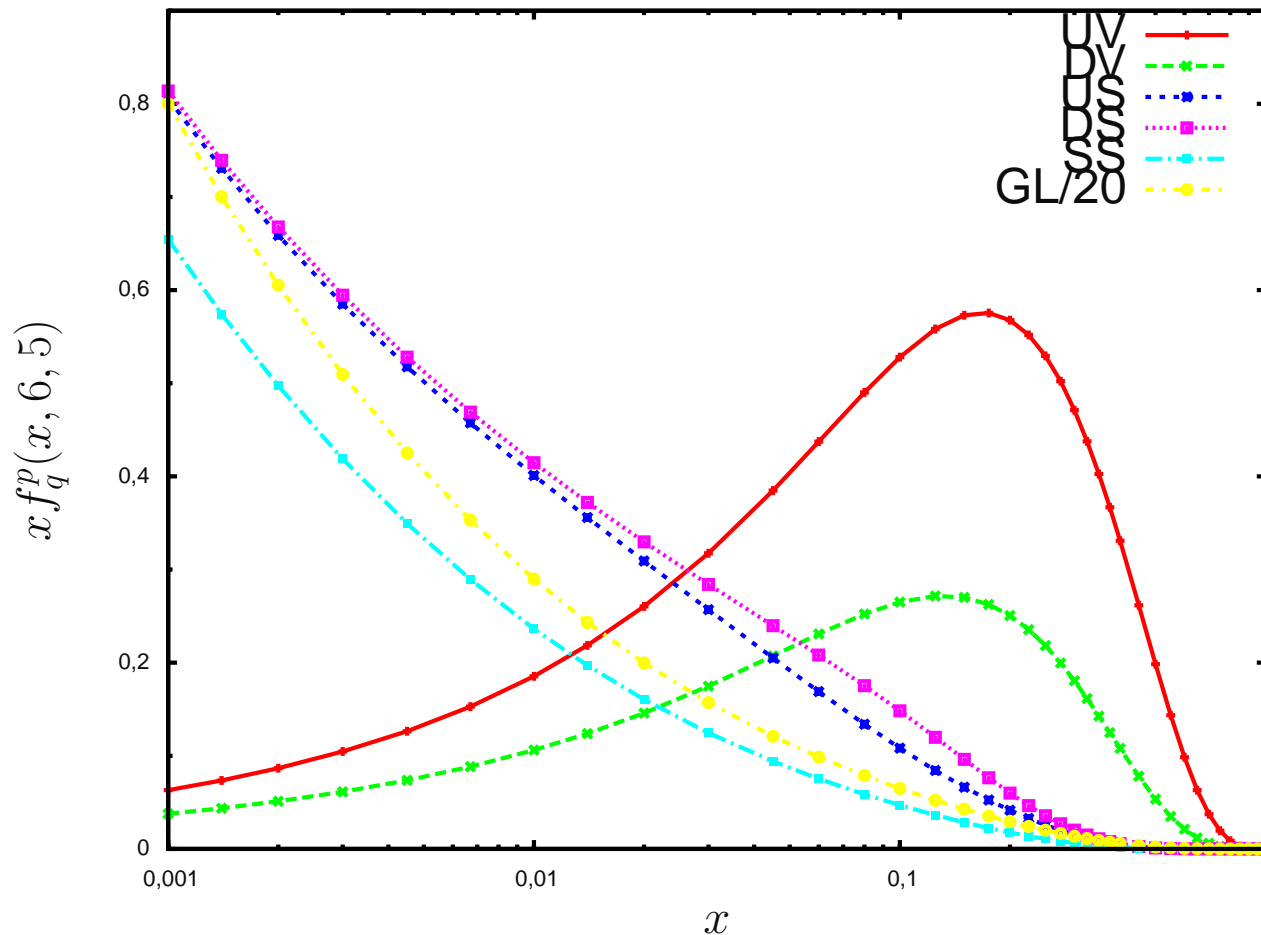
- **Expressão a ser usada.**



Funções de distribuição de pártons

- Funções de distribuição para **prótons livres** e para **nucleons dentro de núcleos** serão usadas.
- O próton é composto por **três quarks de valência** (dois *up* e um *down*).
 - Estes **quarks** podem emitir **glúons**.
 - Estes **glúons** podem emitir pares de **quarks e antiquarks** de qualquer sabor.
- Esta seqüência de emissões cria uma **nuvem de pártons associada ao hádron**.
- O cálculo completo das distribuições partônicas a partir de **primeiros princípios** é muito difícil, senão impossível.
- Solução fenomenológica, as funções de distribuição de pártons são **parametrizadas** a partir de variados experimentos.
- Entre estes vários experimentos, é de grande importância o **espalhamento profundamente inelástico**, pois nele os hádrons são sondados por elétrons (que não têm estrutura).

Funções de distribuição de pártons



- Quarks de mar (US, DS, SS).
- Quarks de valência (UV, DV).
- Glúons (GL).
- Glúons **não tem massa**, por isso dominam em **pequeno** x .

- Entre as diversas parametrizações existentes na literatura, a GRV98 (Gluck, Reya e Vogt) será utilizada.



Funções de distribuição de pártons

- As funções de **distribuição de pártons nucleares** serão calculadas a partir das **funções de prótons livres**.
- As funções nucleares são definidas para um nucleon dentro do núcleo, ou seja, x é quanto o párton carrega de **momentum do nucleon**, que por sua vez tem $1/A$ da **energia do núcleo**.
- Para obter então a seção de choque total, é necessário multiplicar por A o resultado obtido.
- Duas parametrizações são usadas:
 - **EKS** (Eskola, Kolhinen e Salgado);
 - **nDS** (de Florian e Sassot).
- Ambas usam a **GRV** como função de distribuição de pártons em prótons livres.
- A **parametrização EKS** dá a função de distribuição partônica nuclear simplesmente como a **função de um próton livre vezes um fator**: $f_q^A(x, Q) = R_q^A(x, Q) f_q^p(x, Q)$.

Funções de distribuição de pártons

- A parametrização nDS é a primeira parametrização nuclear em ordem seguinte à dominante.
- A parametrização obtém a função nuclear por meio de uma convolução da função de próton livre com uma função-peso W :

$$f_q^A(x, Q) = \int_x^A \frac{dy}{y} W_q(y, A) f_q^p\left(\frac{x}{y}, Q\right). \quad (18)$$

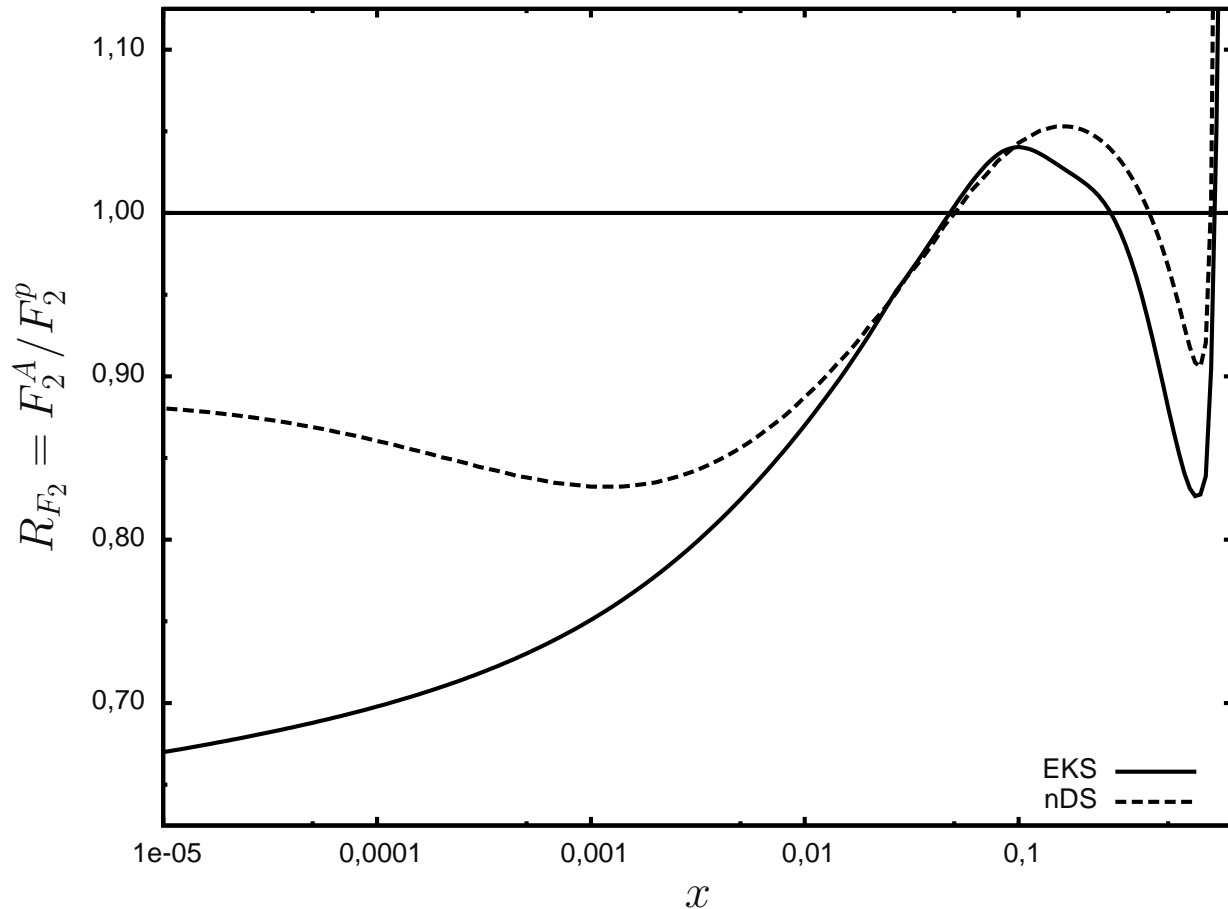
- A convolução apresenta muitas vantagens: e.g., por meio da transformada de Mellin:

$$\{\mathcal{M}f\}(s) = \int_0^\infty x^s f(x) \frac{dx}{x}, \quad (19)$$

a evolução em Q pode ser resolvida muito mais facilmente, o que permite a aplicação à ordem seguinte à dominante

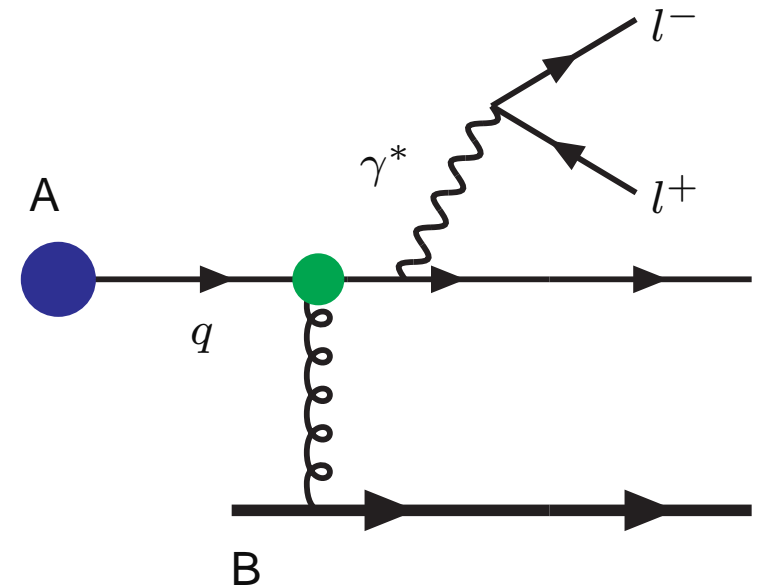
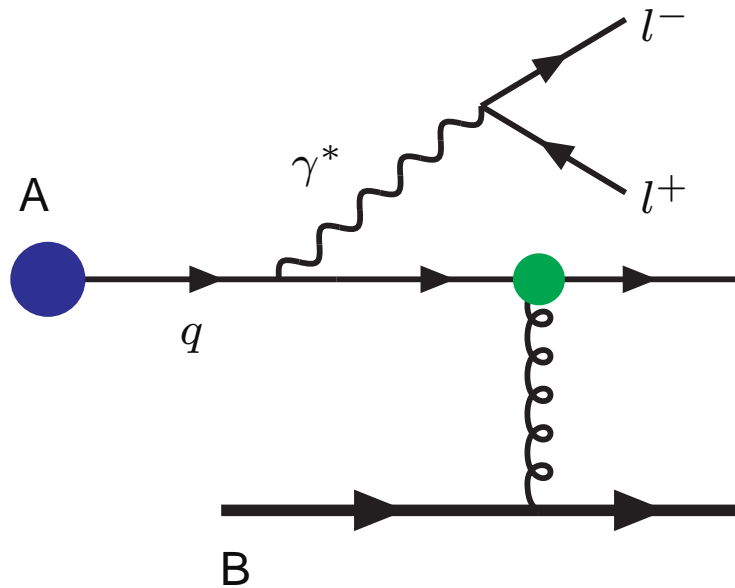
- O intervalo de x não é a $0 \leq x \leq 1$, mas a $0 \leq x \leq A$.
- Uma maneira de comparar as distribuições é calcular a razão $R_{F_2}^A = F_2^A / F_2^p$, com a definição:

$$F_2(x, Q) = x \sum_q e_q^2 [f_q(x, Q) + f_{\bar{q}}(x, Q)]. \quad (20)$$



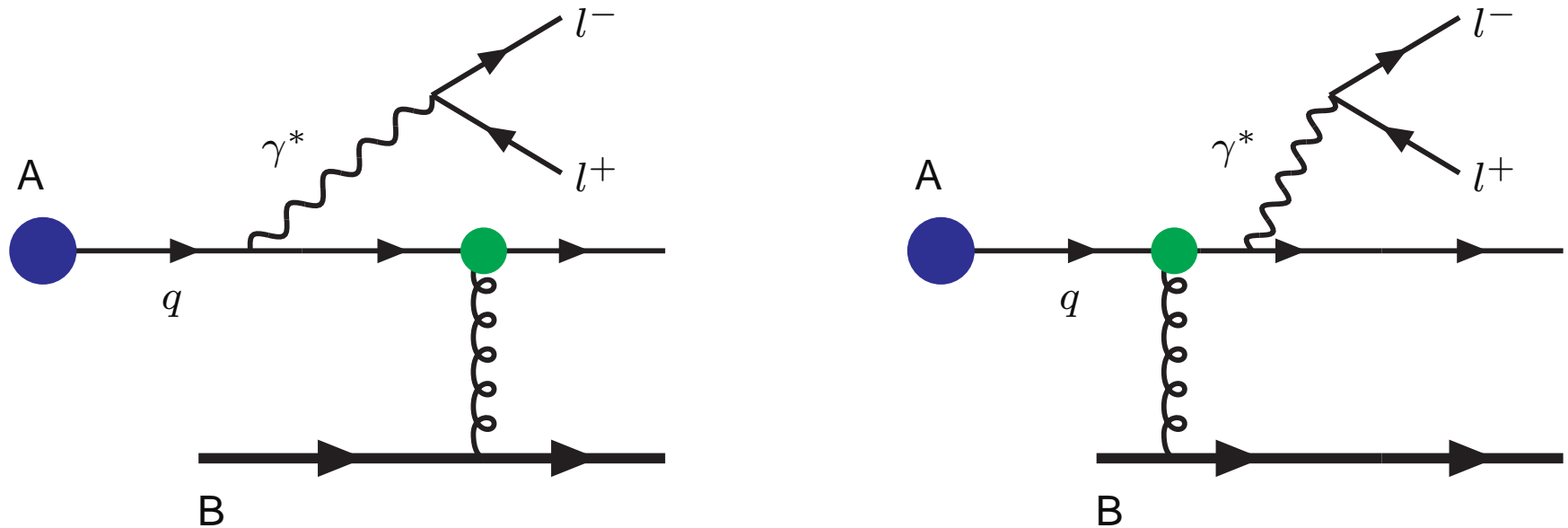
- Movimento de Fermi para aproximadamente $0,8 < x$.
- Efeito EMC (*European Muon Collaboration*) $0,3 < x < 0,8$.
- Anti-sombreamento para $0,1 < x < 0,3$.
- Sombreamento para $x < 0,1$.

Formalismo de dipolos de cor



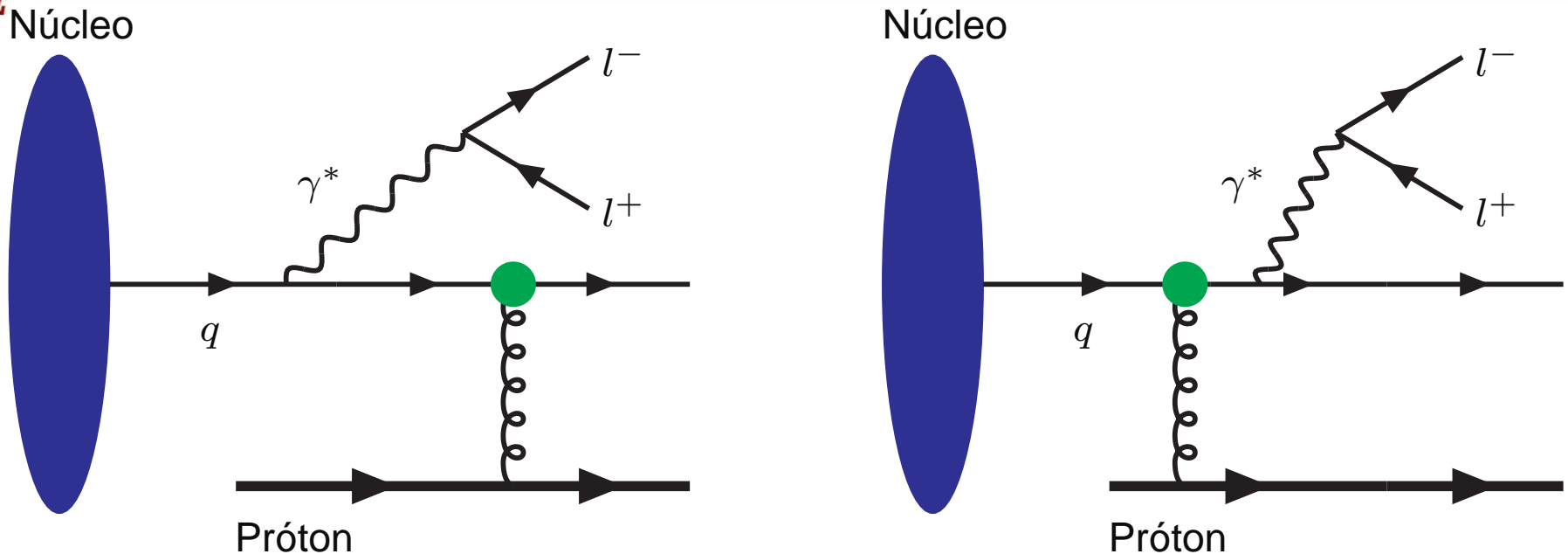
- O **formalismo de dipolos de cor** considera o mesmo processo Drell-Yan no **referencial de repouso de um dos hádrons (alvo)**, enquanto que o outro hádron é o projétil.
- Os diagramas envolvidos são **diferentes**: o processo de produção de **diléptons** é similar ao de ***bremstrahlung*** (radiação de freamento) por meio de **emissão** de um fóton virtual que subseqüentemente decai no dilépton.

Formalismo de dipolos de cor



- A **seção de choque de dipolos** do espalhamento profundamente inelástico pode ser utilizada sem alterações.
- No processo Drell-Yan, a seção de choque de dipolos aparece como a **interferência dos dois diagramas** envolvidos no processo.
- O formalismo de dipolos é fenomenologicamente bem sucedido apenas para x_2 **muito pequeno** (aproximadamente $x_2 < 0,1$), i. e., para rapidez y grande.
- Em colisões próton-próton, a simetria permite que os resultados para $y > 0$ possam ser reinterpretados para $y < 0$, trocando y por $-y$ e x_1 por x_2 .

Formalismo de dipolos de cor



- Quando o método é aplicado com o núcleo como alvo e o próton como projétil, a **assimetria** presente impede que esta adaptação possa ser realizada.
- Neste contexto surge a idéia de considerar o **próton como alvo** e o **núcleo como projétil**.

M.A. Betemps, M.B. Gay Ducati, E.G.O.;
Phys. Rev. D 74, 094010

- Isto será feito sem alterar as definições de x_1 por x_2 , então o formalismo de dipolos se aplicará para x_1 pequeno, i.e., **rapidezes negativas** e grandes em módulo.

Formalismo de dipolos de cor

- A **seção de choque** com dependência em p_T é dada por:

$$\frac{d\sigma^{DY}}{dM^2 dy d^2 p_T} = \frac{\alpha_{em}^2}{6\pi^3 M^2} \int_0^\infty d\rho W(x_2, \rho, p_T) \sigma_{dip}(x_1, \rho), \quad (21)$$

em que p_T é o momentum transversal do dilépton, M é a massa do dilépton, y é a rapidez e ρ é a separação transversal do dipolo.

- x_2 é a **fração do momentum de um nucleon no projétil levada pelo fóton virtual**.
- A função $W(x_2, \rho, p_T)$ depende da **função de estrutura nuclear** $F_2^A(x_2/\alpha, M^2)$ que contém os efeitos nucleares:

$$W(x_2, \rho, p_T) = \int_{x_2}^1 \frac{d\alpha}{\alpha^2} F_2^A\left(\frac{x_2}{\alpha}, M^2\right) \left\{ [m_q^2 \alpha^4 + 2M^2(1-\alpha)^2] \left[\frac{1}{p_T^2 + \eta^2} T_1(\rho) - \frac{1}{4\eta} T_2(\rho) \right] + [1 + (1-\alpha)^2] \left[\frac{\eta p_T}{p_T^2 + \eta^2} T_3(\rho) - \frac{1}{2} T_1(\rho) + \frac{\eta}{4} T_2(\rho) \right] \right\},$$

em que x_2/α é a fração do momentum do próton levada pelo quark emitido ($\alpha < 1$).

- A constante η é dada por $\eta^2 = (1-\alpha)M^2 + \alpha^2 m_q^2$ e m_q é a massa do quark ($m_q = 0, 2 \text{ GeV}$).

Formalismo de dipolos de cor

- A **função de estrutura nuclear** leva em conta as distribuições do projétil:

$$F_2^A(x, M^2) = \sum_q e_q^2 [x f_q^A(x, M^2) + x f_{\bar{q}}^A(x, M^2)]. \quad (22)$$

- No caso de uma colisão **próton–próton**, a função de estrutura nuclear deve ser **substituída pela função de um próton livre** $F_2^p(x_2/\alpha, M^2)$.
- O formalismo de dipolos já em **ordem dominante** gera uma **distribuição em p_T bem comportada** e adequada aos experimentos.
- Para pequeno x_1 e grande p_T o formalismo de dipolos corresponda à **contribuição de Compton da análise no referencial de momentum infinito** quando os efeitos de saturação na seção de choque de dipolos são desprezados.

Seção de choque de dipolo σ_{dip}

- No espalhamento profundamente inelástico, $\sigma_{dip}(x, r)$ é a **seção de choque entre o dipolo de cor de tamanho r** (uma flutuação do **fóton virtual**) e o alvo, no caso, um próton.
- O dipolo de cor é formado por um **quark** de determinada cor e um **antiquark** de anticor complementar, de tal forma que a combinação da cor e da anticor é **branca** (ou incolor).
- Se a distância entre o quark e o antiquark é muito pequena, cor e anticor estão praticamente sobrepostas e há a **transparência à cor**.
- Em ordem dominante em α_s e para pequeno x a **seção de choque de dipolos** é dada por:

$$\sigma_{dip}(x, r) = \frac{\pi^2}{3} \alpha_s r^2 x G(x). \quad (23)$$

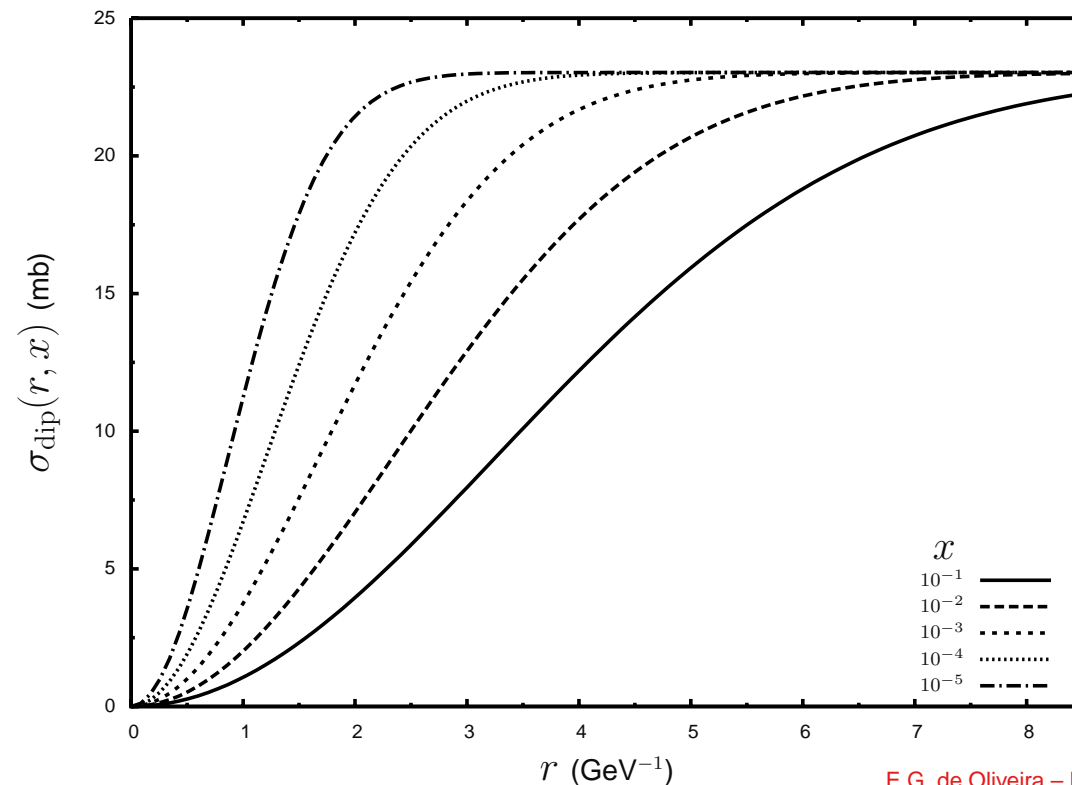
- A seção de choque de dipolos **umenta** quando a distância entre o par de quark e antiquark r **crece**.
- $\sigma_{dip}(x, r)$ também **umenta** com o crescimento de $G(x)$ (pequeno x).
- Espera-se que para x **pequeno ocorra a saturação dos glúons**, por meio de **correções de unitariedade** tais como:
 - a recombinação de glúons;
 - a troca de múltiplos glúons entre o dipolo e o alvo.

Seção de choque de dipolo σ_{dip}

- O modelo fenomenológico proposto por Golec-Biernat e Wüsthoff (GBW) será usado:

$$\sigma_{dip}(x, r) = \sigma_0 \left[1 - \exp \left(- \frac{r^2 Q_0^2}{4(x/x_0)^\lambda} \right) \right]. \quad (24)$$

- $Q_0^2 = 1 \text{ GeV}^2$.
- Três parâmetros são ajustados: $\sigma_0 = 23,03 \text{ mb}$ ($59,14 \text{ GeV}^{-2}$), $x_0 = 3,04 \times 10^{-4}$ e $\lambda = 0,288$.



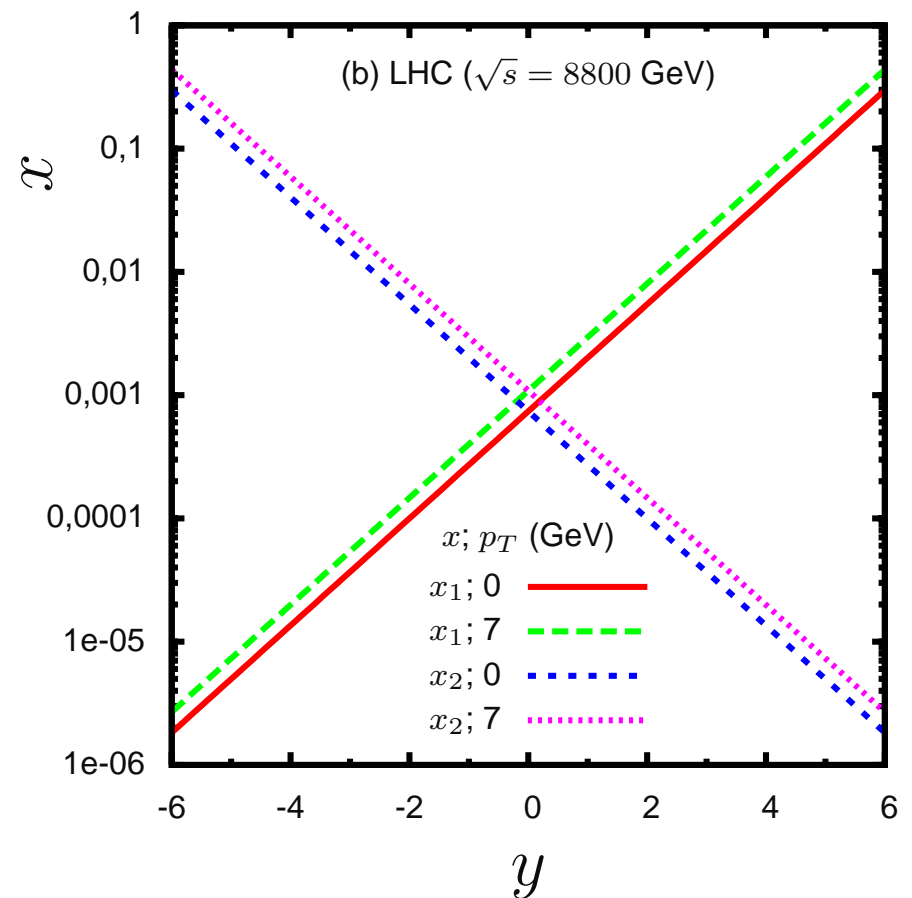
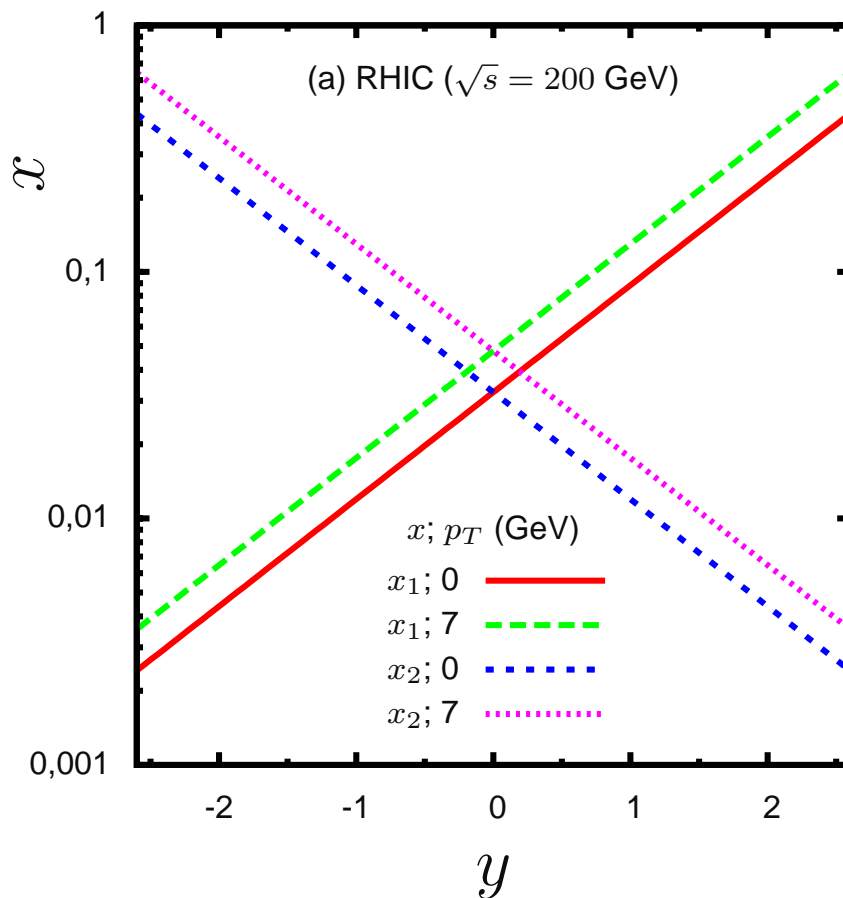
Resultados e comparação

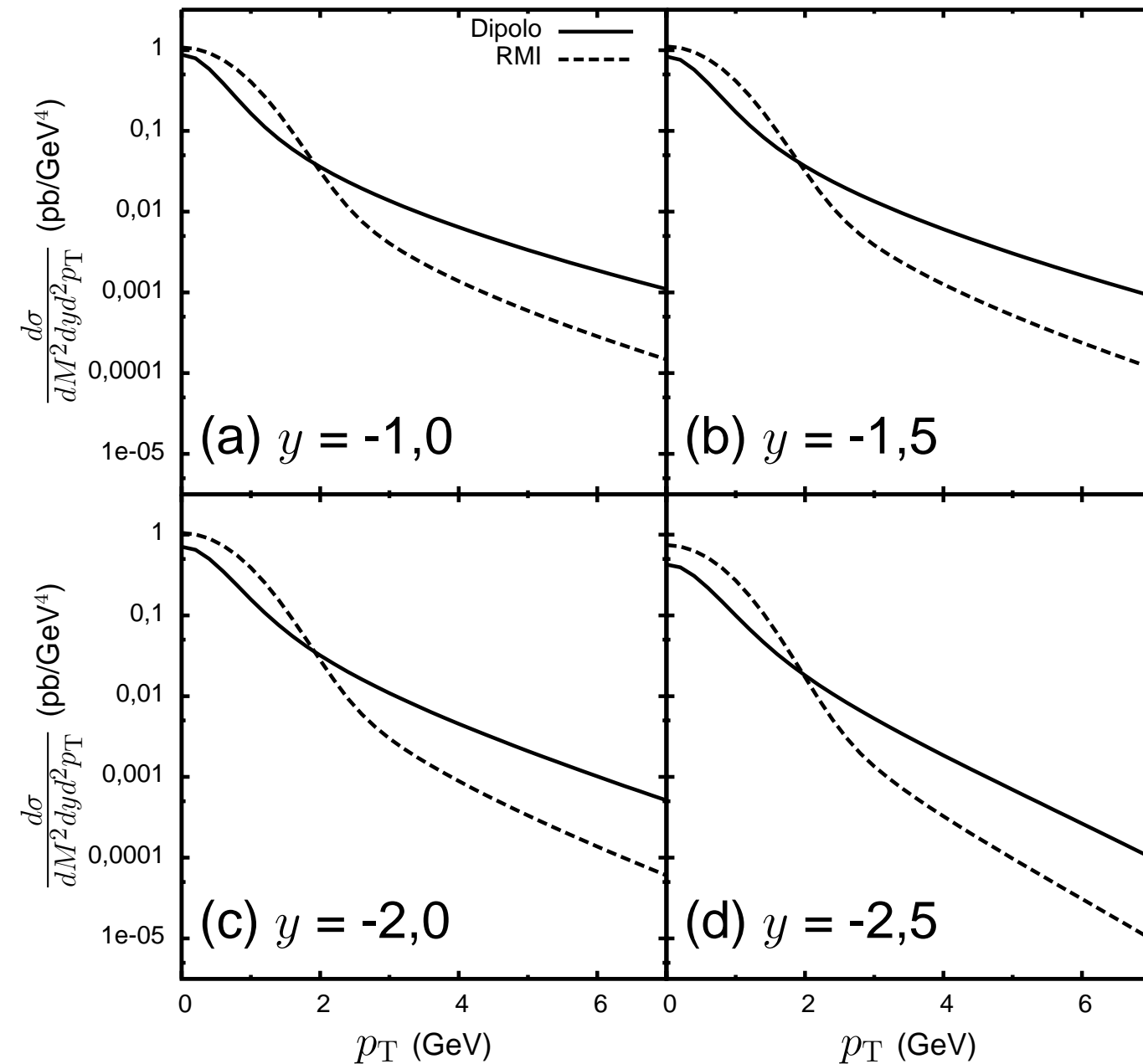
- Dois formalismos: **dipolos de cor** no referencial de repouso do alvo (**dipolo**) e **momentum transversal intrínseco** no referencial de momentum infinito (**RMI**).
 - $M = 6, 5, p_T < M$; estudar x pequeno.
 - $\alpha = 0, 186$, dada pela GRV98.
 - $b = 0, 48$ GeV, gerando um momentum transversal intrínseco médio de aproximadamente $0, 6$ GeV.
- **Não há resultados experimentais** correspondentes.
- Reações **próton–núcleo de ouro** ($A = 196, 97$) comparadas com reações **próton–próton**.
- **Fator de modificação nuclear** será calculado:

$$R_{pA} = \frac{d\sigma(pA)}{dp_T^2 dy dM} \bigg/ A \frac{d\sigma(pp)}{dp_T^2 dy dM}. \quad (25)$$

x_1 e x_2

- Energias compatíveis com as dos colisores **RHIC** ($\sqrt{s} = 200$ GeV) e **LHC** ($\sqrt{s} = 8800$ GeV).
- Variação de x_1 e x_2 com a rapidez y e o momentum transversal p_T para energias de RHIC e LHC.





- Seção de choque pp .

- Limites:

$$0,00241 < x_1 < 0,0176$$

$$0,0883 < x_2 < 0,643.$$

- Resultados **distintos**, qualitativamente e quantitativamente.

- Para grande p_T , mesma dependência em p_T .

Resultados – RHIC

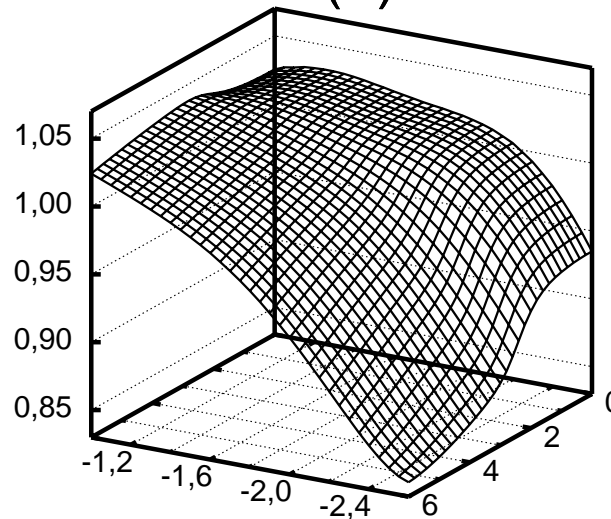
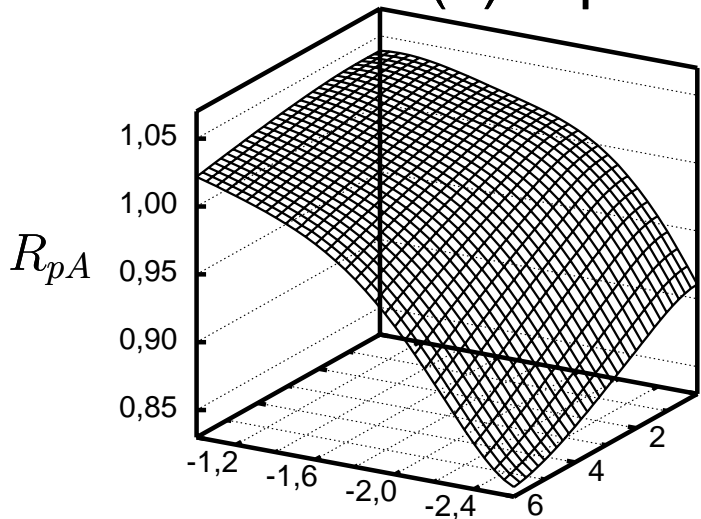
(a) Dipolo EKS

(b) RMI EKS

● Razão R_{pA}

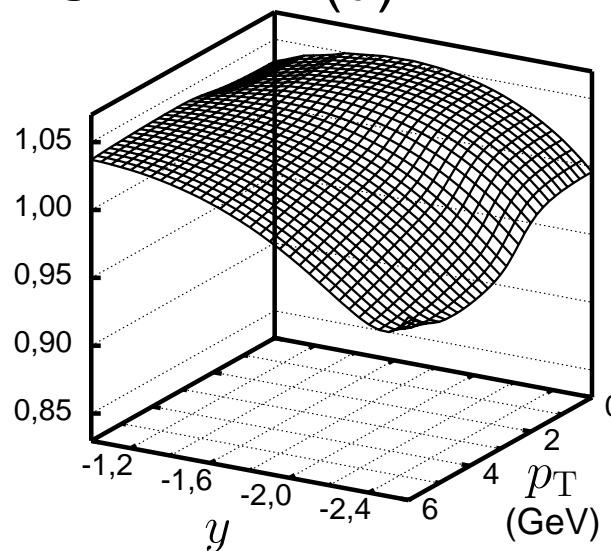
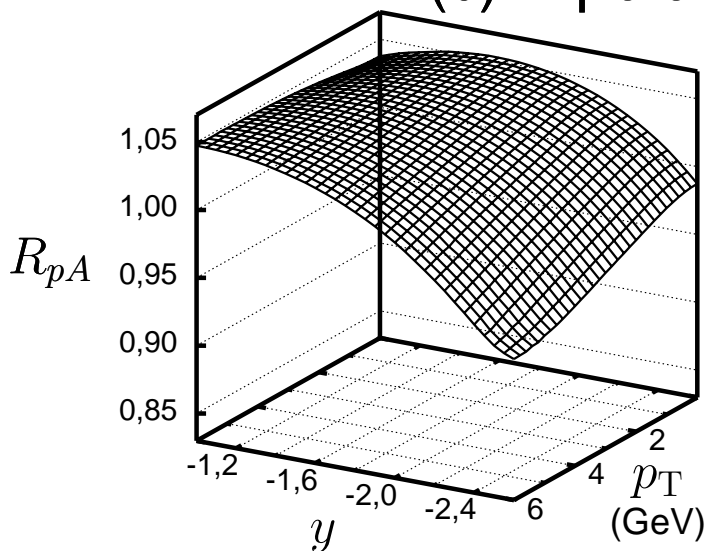
● Coerência entre os formalismos.

● Degrau (no RMI) em p_T para y baixo e $p_T \sim 2,5$ GeV.

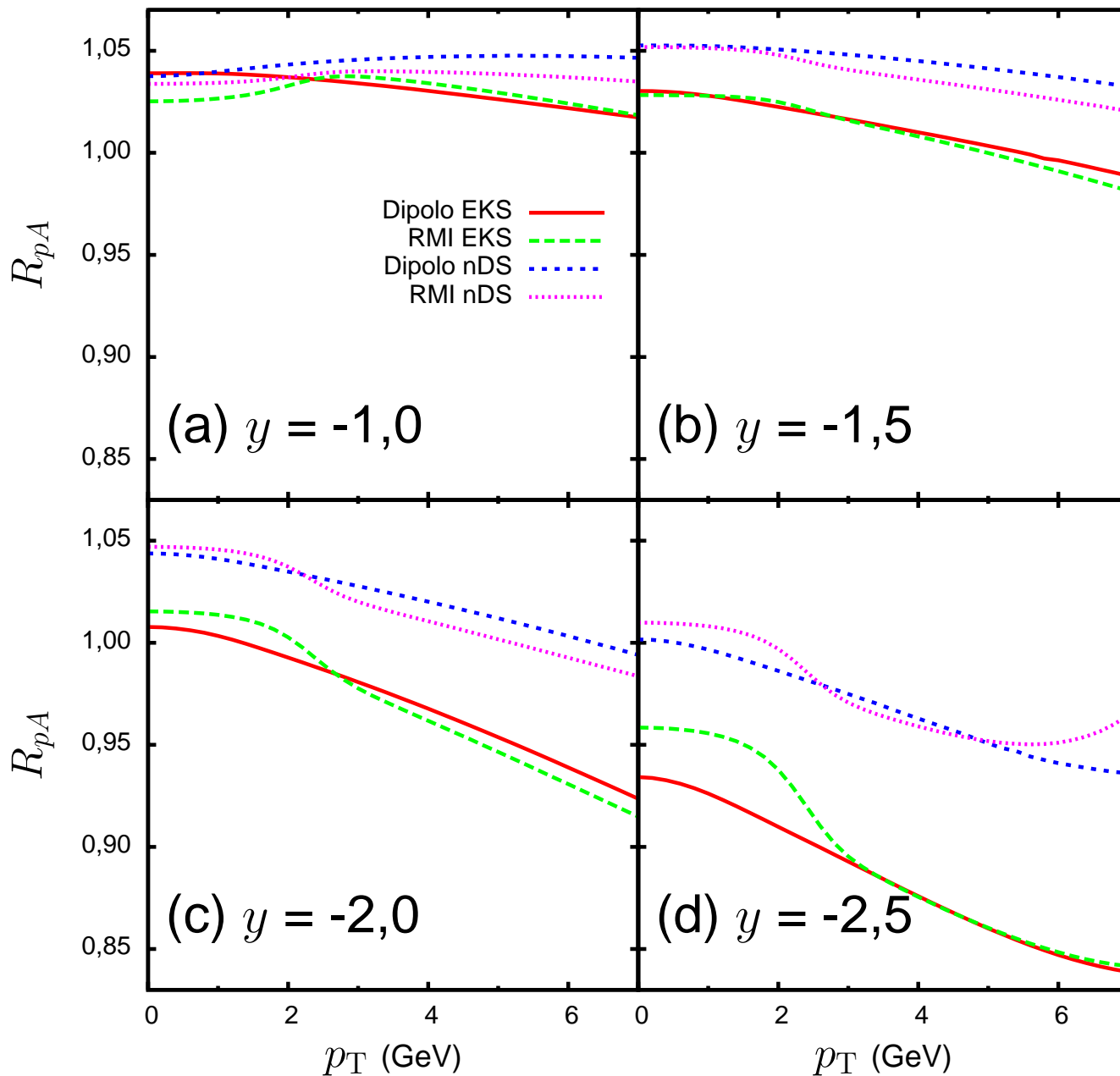


(c) Dipolo nDS

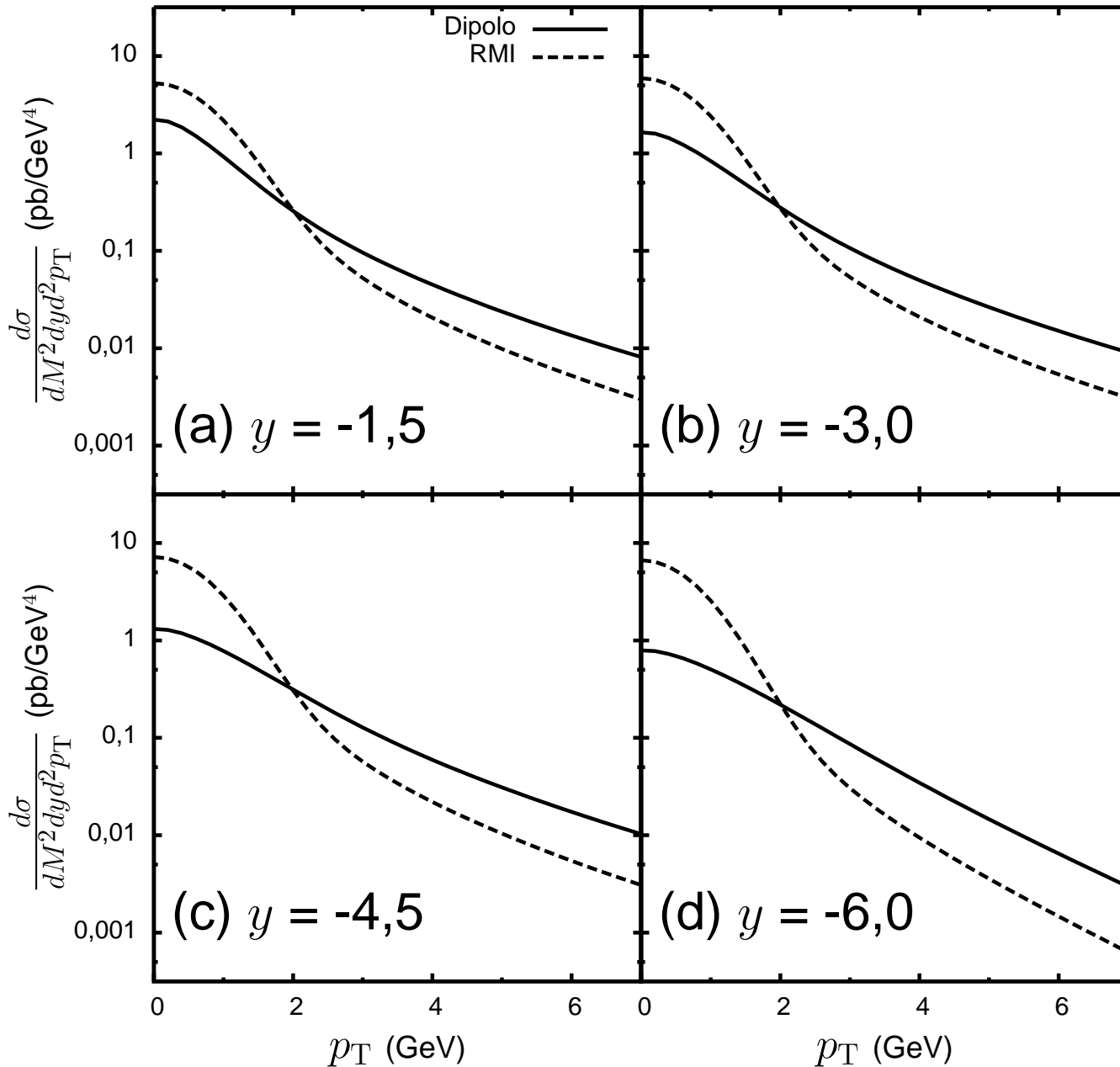
(d) RMI nDS



Resultados – RHIC



- Razão R_{pA}
- nDS > EKS.
- Melhor concordância: $y = -2, 5$.
- **Efeitos:** movimento de Fermi, EMC e anti-sombreamento.
- **Dois** regimes no RMI.
- EKS: resultados similares.
- nDS: mais sensível ao modelo.



- Seção de choque pp
- Limites:

$$\begin{aligned}
 &1,83 \cdot 10^{-6} \\
 &< x_1 < \\
 &3,99 \cdot 10^{-4} \\
 &2,01 \cdot 10^{-3} \\
 &< x_2 < \\
 &0,438
 \end{aligned}$$

Resultados – LHC

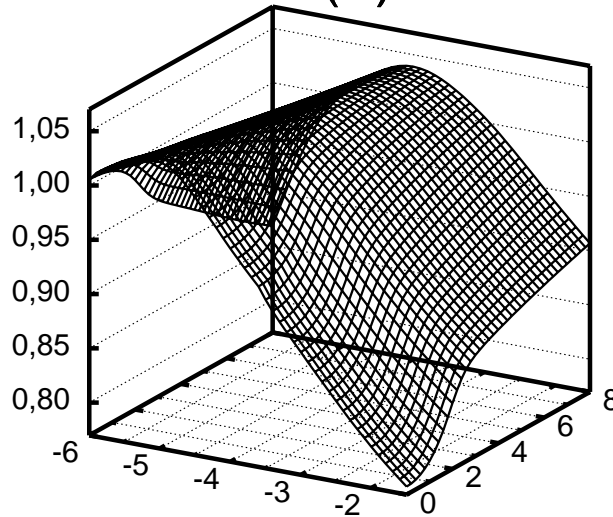
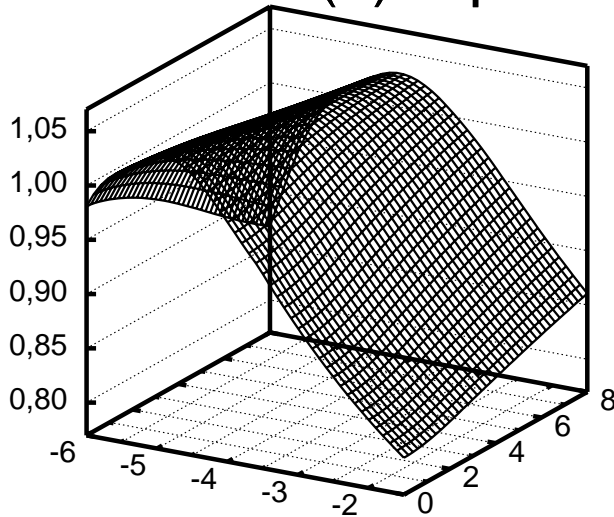
(a) Dipolo EKS

(b) RMI EKS

● Razão R_{pA} .

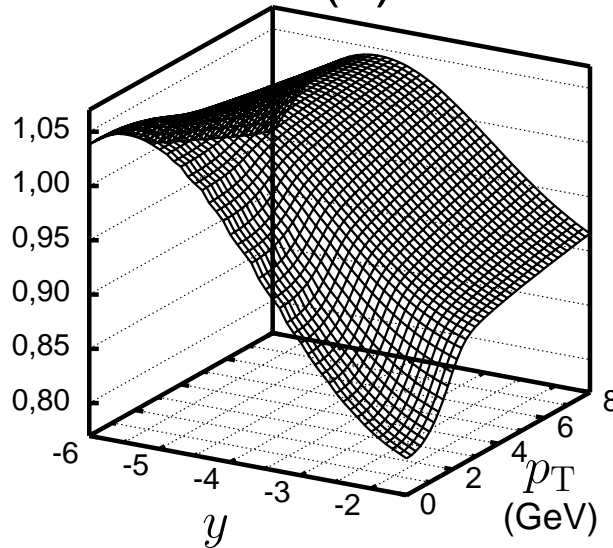
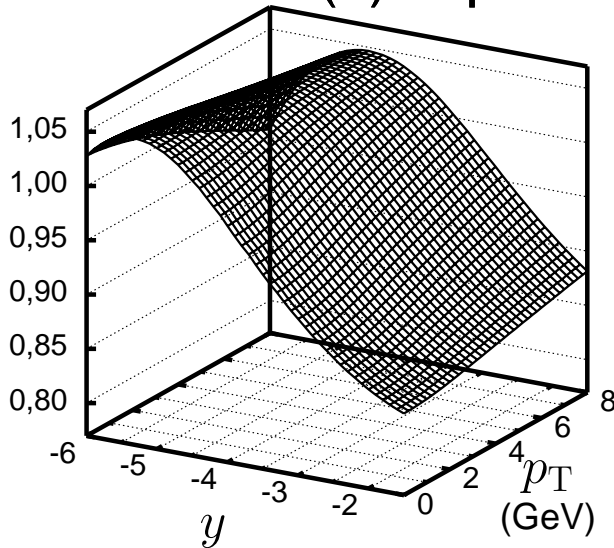
● Degrau na mesma posição.

● **Máximo** nas distribuições.

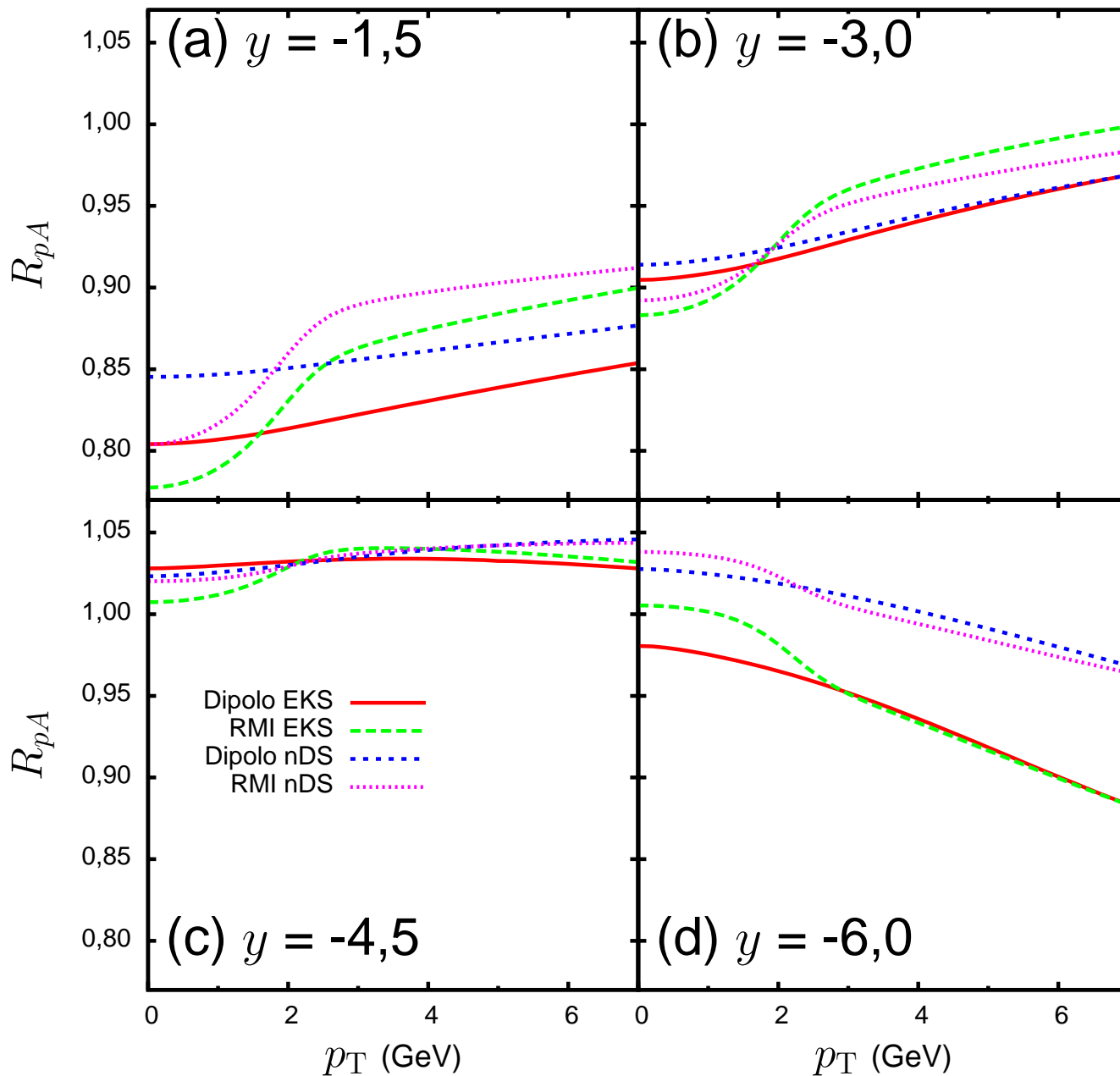


(c) Dipolo nDS

(d) RMI nDS



Resultados – LHC



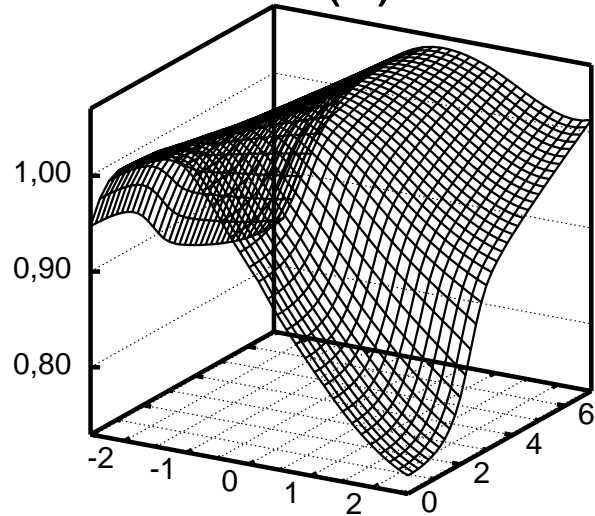
- Razão R_{pA} .
- Incerteza no modelo para rapidezzes centrais.
- Inclusão de efeitos de **sombreamento**: pico.
- Menor dependên-
cia em p_T .

Rapidezes negativas e positivas

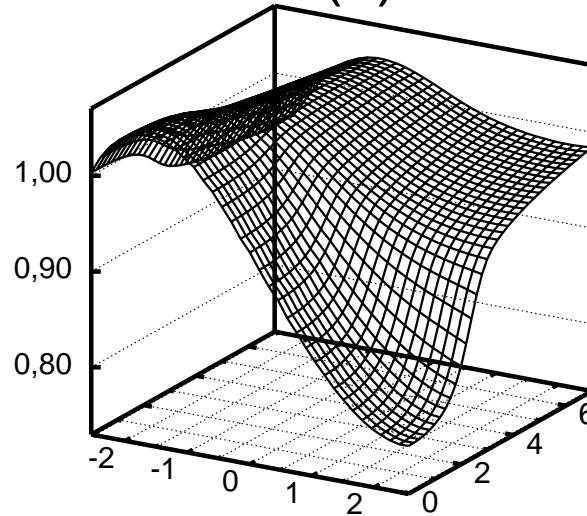
- Formalismo no **referencial de momentum infinito** se mantém válido como descrito até agora.
- Formalismo de dipolos na região positiva de rapidez:
 - A troca entre o alvo e o projétil realizada anteriormente precisa ser desfeita: agora o **núcleo volta a ser o alvo**.
 - Na F_2 serão usadas funções de distribuição de **pártons em prótons livres**.
 - Na seção de choque de dipolos, o núcleo em repouso e testado a pequenas frações de momentum x_b deve ser considerado como um **sistema denso**, como no **condensado de vidros de cor (CVC)**.
 - **Efeitos nucleares de pequeno x** terão importância.

Rapidezes negativas e positivas

(a) RHIC EKS

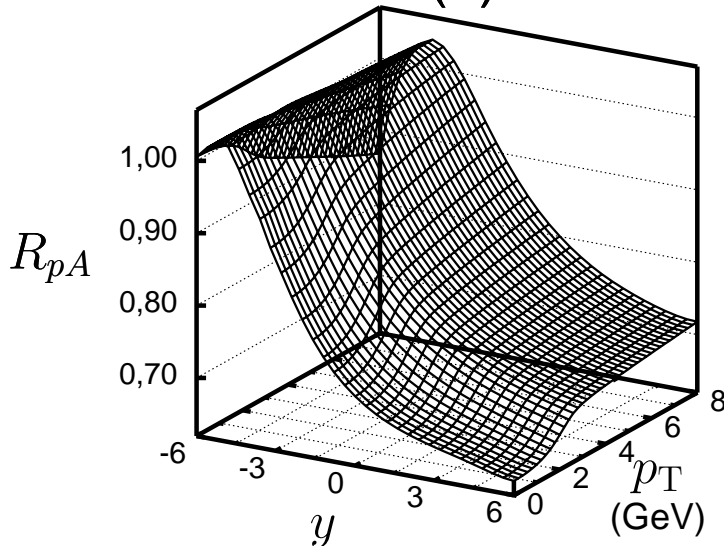


(b) RHIC nDS

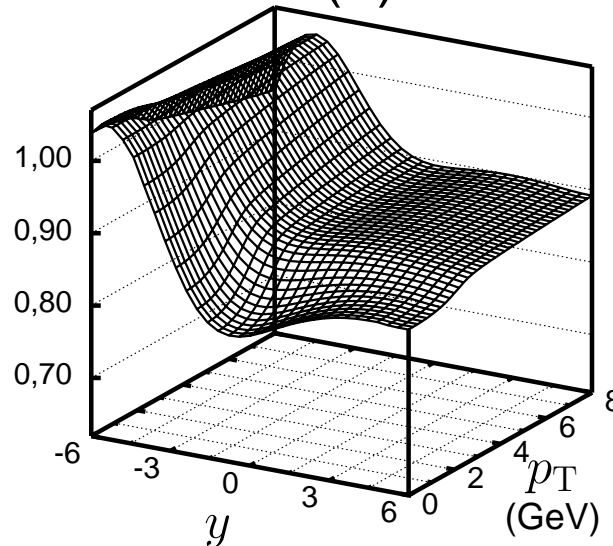


- Razão R_{pA} .
- $y > 0$ – efeito de **sombreamento**.
- LHC nDS – sombreamento **au-**menta R_{pA} .

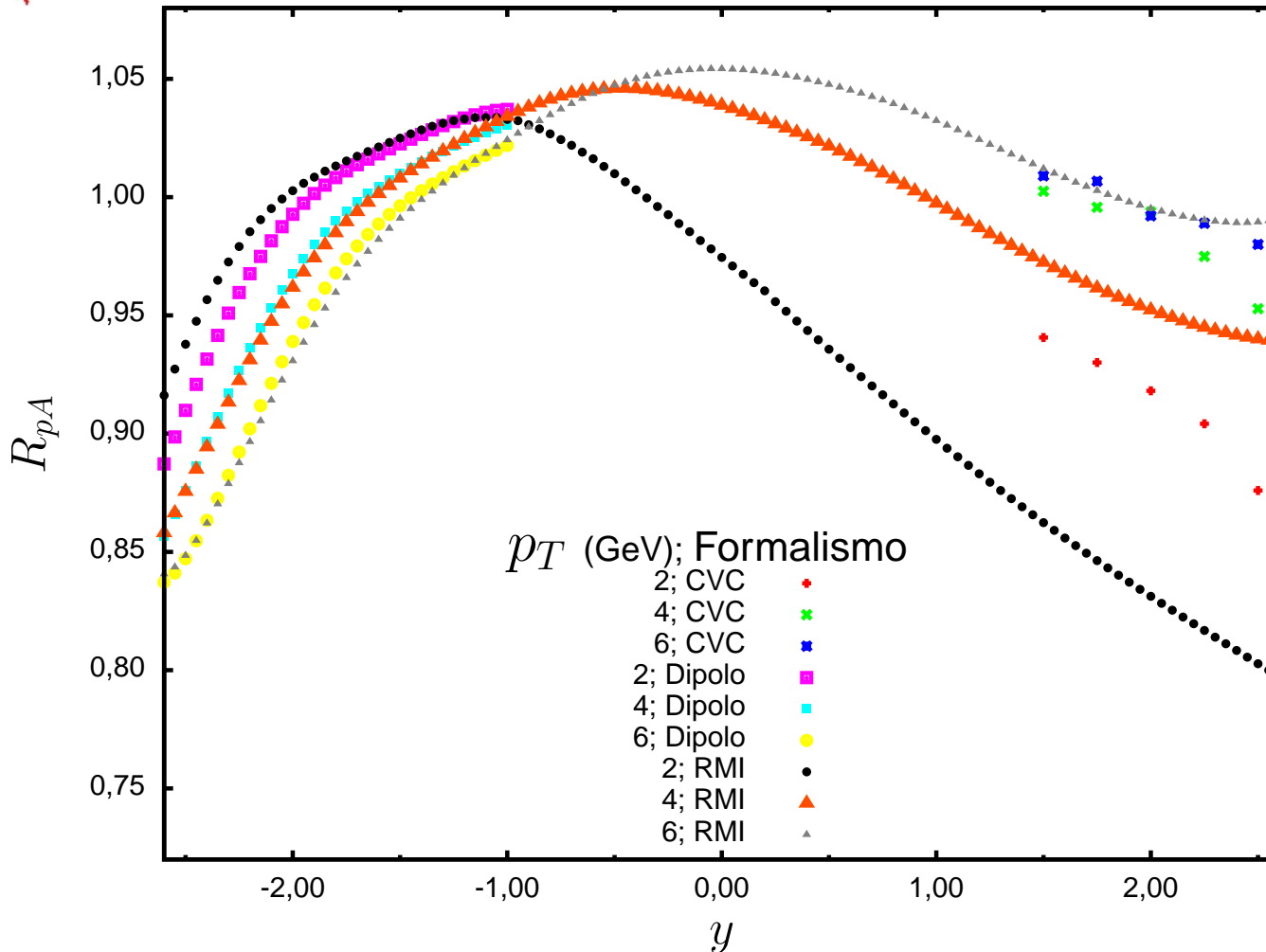
(c) LHC EKS






(d) LHC nDS



Rapidezes negativas e positivas



-  Inversão na dependência em p_T :
-  Rapidez positiva: **sombreamento**.
-  Rapidez negativa: **anti-sombreamento e efeito EMC**.

Conclusões

- O formalismo de dipolos no processo Drell–Yan foi empregado com sucesso para **rapidezes negativas**.
- Resultados **qualitativamente similares** entre os formalismos e as distribuições.
- Apesar disso, **diferenças** encontradas podem indicar como o processo Drell–Yan pode ser melhor modelado, como o degrau observado em p_T e o comportamento de R_{pA} com relação à y e p_T .
- Para rapidezes negativas, os efeitos de **anti-sombreamento e EMC** para energias de RHIC e estes dois mais o de **sombreamento** para energias de LHC são relevantes.
- **A produção de diléptons para rapidezes negativas é apropriada para entender e quantificar os efeitos nucleares para pequeno e grande x .**

Perspectivas

- Usar outras distribuições de pártons em prótons livres (CTEQ, MRST) e nucleares EPS08.
- Estudo de diferentes parametrizações para o momentum transversal intrínseco.
- Ressoma de termos $\log(p_T/M)$ no referencial de momentum infinito (sem momentum transversal intrínseco).
- Modelo alternativo de *off-shellness*, de Linnyk, Leupold e Mosel (LLM), com variação da virtualidade dos pártons.
- Cálculo de outros observáveis.

Projeções auxiliares.

Variáveis de Mandelstam

- Variáveis de Mandelstam do processo:

$$s = (P_A + P_B)^2 = 2P_A \cdot P_B \quad (26)$$

$$t = (q - P_A)^2 = M^2 - 2q \cdot P_A \quad (27)$$

$$u = (q - P_B)^2 = M^2 - 2q \cdot P_B. \quad (28)$$

- Variáveis de Mandelstam do subprocesso:

$$\hat{s} = (p_A + p_B)^2 = 2p_A \cdot p_B = x_A x_B s \quad (29)$$

$$\hat{t} = (q - p_A)^2 = M^2 - 2q \cdot p_A = M^2 + x_A(t - M^2) \quad (30)$$

$$\hat{u} = (q - p_B)^2 = M^2 - 2q \cdot p_B = M^2 + x_B(u - M^2). \quad (31)$$

- Pode ser mostrado que $\hat{s} + \hat{t} + \hat{u} = M^2$.

Seção de choque diferencial dupla

- As funções $(F(x))_+$ são definidas por

$$(F(x))_+ = \lim_{\beta \rightarrow 0} \{F(x)\theta(1-x-\beta) + \log(\beta)\delta(1-x-\beta)\}. \quad (32)$$

- Para $x < 1 - \beta$, $(F(x))_+ = F(x)$. Contudo, a integral em x é nula:

$$\int_0^1 (F(x))_+ dx = 0. \quad (33)$$

- Assim:

$$\int_0^1 dx g(x)(F(x))_+ = \int_0^1 dx (g(x) - g(1))F(x). \quad (34)$$

Seção de choque diferencial dupla

- A seção de choque pode ser reescrita por meio da integração das duas deltas de Dirac como ($x_{A,B} = \sqrt{\tau/z} \exp(\pm y)$):

$$\frac{d\sigma}{dM^2 dy} = \frac{\hat{\sigma}_0}{s} \int_{\tau \exp(2|y|)}^1 \frac{dz}{z} \left\{ P_{q\bar{q}}(x_A, x_B, M^2) \left[\delta(1-z) + \frac{\alpha_s(M^2)}{2\pi} D_q(z) \right] \right. \\ \left. [P_{qg}(x_A, x_B, M^2) + P_{gq}(x_A, x_B, M^2)] \left[\frac{\alpha_s(M^2)}{2\pi} D_g(z) \right] \right\}. \quad (35)$$

- Separando a parte que não precisa ser integrada numericamente, tem-se:

$$\frac{d\sigma}{dM^2 dy} = \frac{\hat{\sigma}_0}{s} \left(1 + \frac{2\alpha_s(M^2)}{3\pi} \left(\frac{2\pi^2}{3} - 8 \right) \right) P_{q\bar{q}}(x_A, x_B, M^2) \\ + \frac{\hat{\sigma}_0}{s} \frac{\alpha_s(M^2)}{2\pi} \int_{\tau}^1 \frac{dz}{z} \left\{ P_{q\bar{q}}(x_A, x_B, M^2) D'_q(z) \right. \\ \left. [P_{qg}(x_A, x_B, M^2) + P_{gq}(x_A, x_B, M^2)] D_g(z) \right\} \quad (36)$$

com

$$D'_q(z) = C_F \left[-2 \frac{1+z^2}{1-z} \ln z + 4(1+z^2) \left(\frac{\ln(1-z)}{1-z} \right)_+ \right].$$

Formalismo de dipolos de cor

● As funções T_i são dadas por:

$$T_1(\rho) = \frac{\rho}{\alpha} J_0\left(\frac{p_T \rho}{\alpha}\right) K_0\left(\frac{\eta \rho}{\alpha}\right) \quad (37)$$

$$T_2(\rho) = \frac{\rho^2}{\alpha^2} J_0\left(\frac{p_T \rho}{\alpha}\right) K_1\left(\frac{\eta \rho}{\alpha}\right) \quad (38)$$

$$T_3(\rho) = \frac{\rho}{\alpha} J_1\left(\frac{p_T \rho}{\alpha}\right) K_1\left(\frac{\eta \rho}{\alpha}\right), \quad (39)$$

em que a função $J_n(x)$ é a função de Bessel do primeiro tipo de ordem n e a função $K_n(x)$ é a função de Bessel do segundo tipo modificada (ou hiperbólica) de ordem n .

Parâmetro de acoplamento da CDQ

- Em ordem seguinte à dominante, α_s é dado por:

$$\alpha_s(\mu) = \frac{4\pi}{\beta_0 \ln(\mu^2/\Lambda^2)} \left[1 - \frac{2\beta_1}{\beta_0^2} \frac{\ln[\ln(\mu^2/\Lambda^2)]}{\ln(\mu^2/\Lambda^2)} \right] \quad (40)$$

com

$$\beta_0 = 11 - \frac{2}{3}n_f \quad \beta_1 = 51 - \frac{19}{3}n_f \quad (41)$$

em que n_f é o número de sabores.

- A constante Λ é a constante propriamente dita da teoria e seu valor só pode ser estimado a partir de medidas do parâmetro de acoplamento α_s .

Perspectivas

- Modelo alternativo de *off-shellness*.
- Nos modelos considerados, os pártons possuem **virtualidade nula** (são reais).
- No modelo de **Linnyk, Leupold e Mosel (LLM)**, os pártons podem variar esta virtualidade, que é então integrada com a distribuição:

$$A(m) = \frac{1}{\pi} \frac{\Gamma}{m^2 + \frac{1}{4}\Gamma^2}. \quad (42)$$

- A constante Γ é um **novo parâmetro** a ser ajustado.
- A cinemática **exata** é utilizada, assim como o subprocesso (em ordem dominante) **não colinear** e *off-shell*.
- Em OD, o modelo é capaz de descrever os mesmos resultados experimentais descritos pela fatorização colinear.